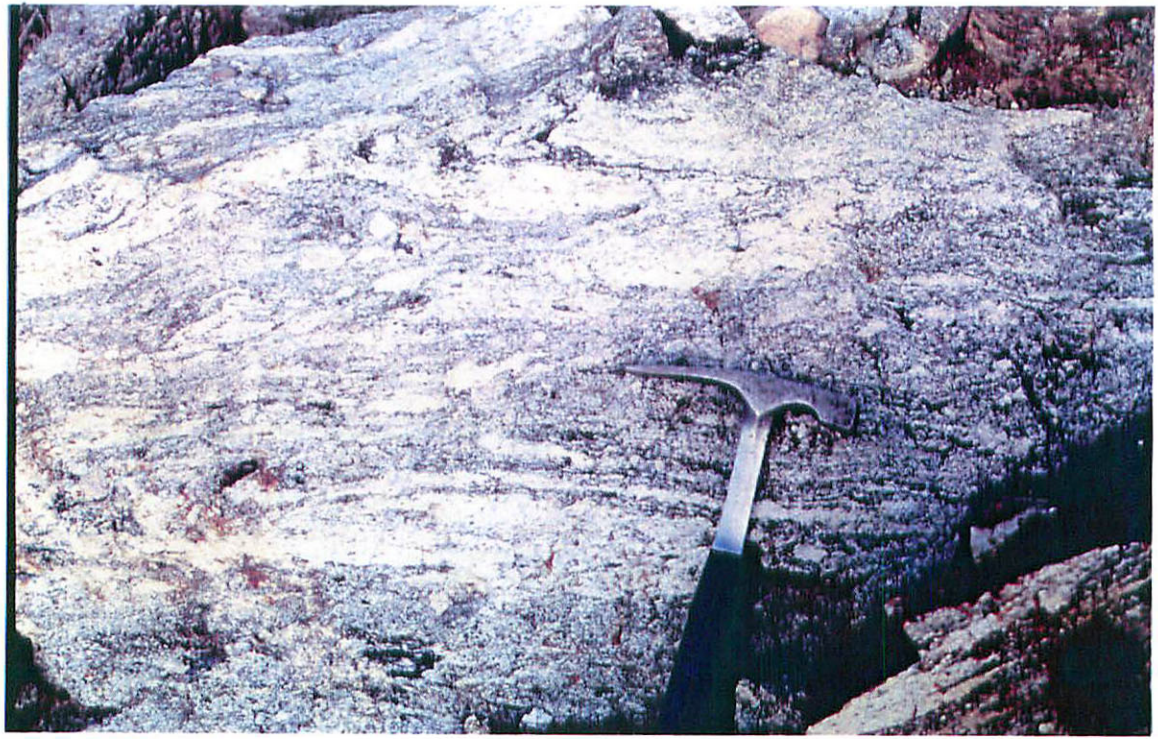


MP- 9400.- Pliegues de D_2 en mármoles finamente laminados (15). Al E. de Montanares.



MP- 9401.- Alternancia centimétrica de metareniscas y cuarzoesquistos con rocas de silicatos cálcicos (14) a techo de los mármoles. Al E. de Hontanares.



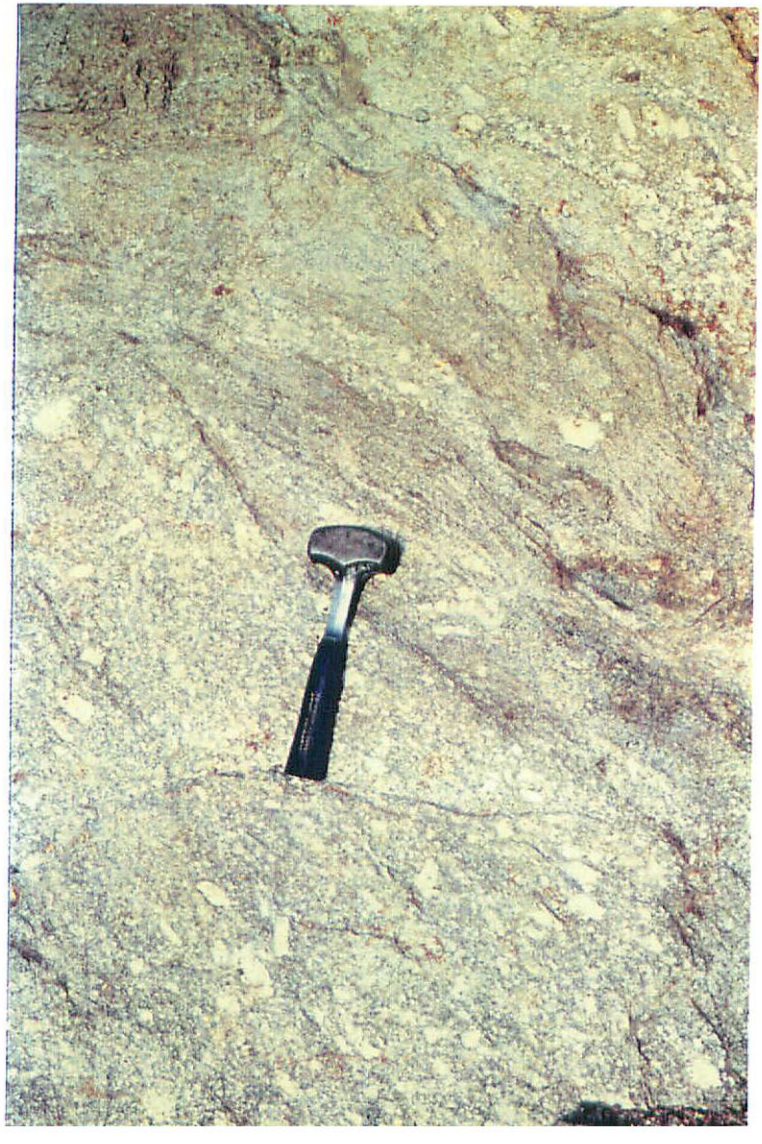
MP- 9402.- Leucogranitos de dos micas con silimanita, de grano fino-medio, porfídicos (6) migmatizados. Carretera Talavera-Arenas de San Pedro, al NE. de Farrillas.



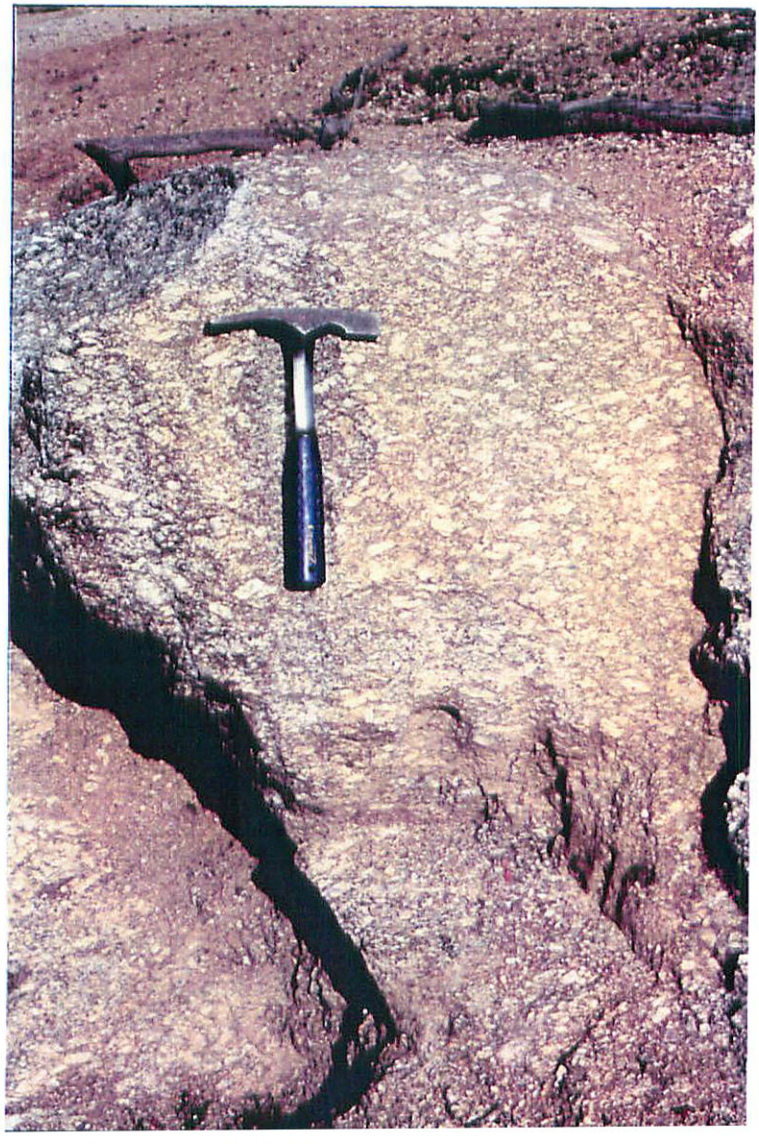
MP- 9403.- Leucogranitos de dos micas con silimanita, de grano fino-medio, porfídicos (6) migmatizados. Carretera Talavera-Arenas de San Pedro, al NE. de Parrillas.



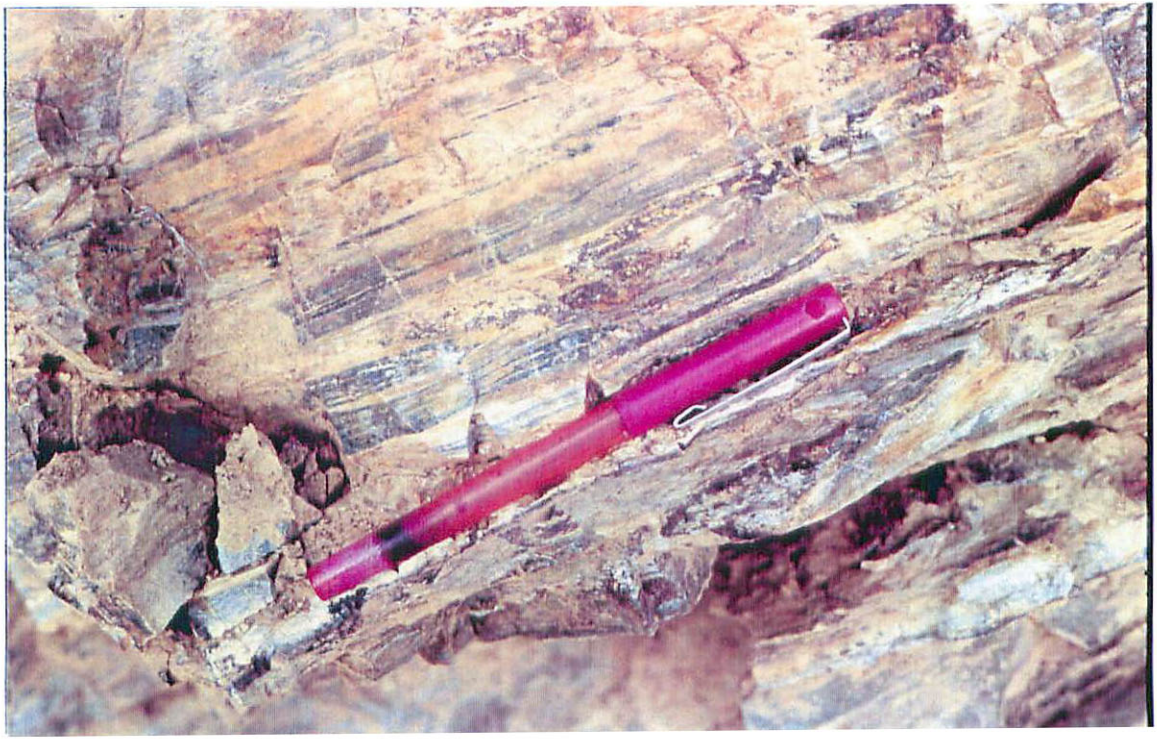
MF- 9404.- Leucogranito de dos micas con silimanita, de grano medio, porfídico (6). Alrededores de Aldea de Arango, al O. de Montesclaros.



MP- 9405.- Adamellita biotítica, con moscovita, de grano medio a grueso, porfídica, con silimanita (4) migmatizada. Carretera Talavera-Arenas de San Pedro, al NE. de Parrillas.



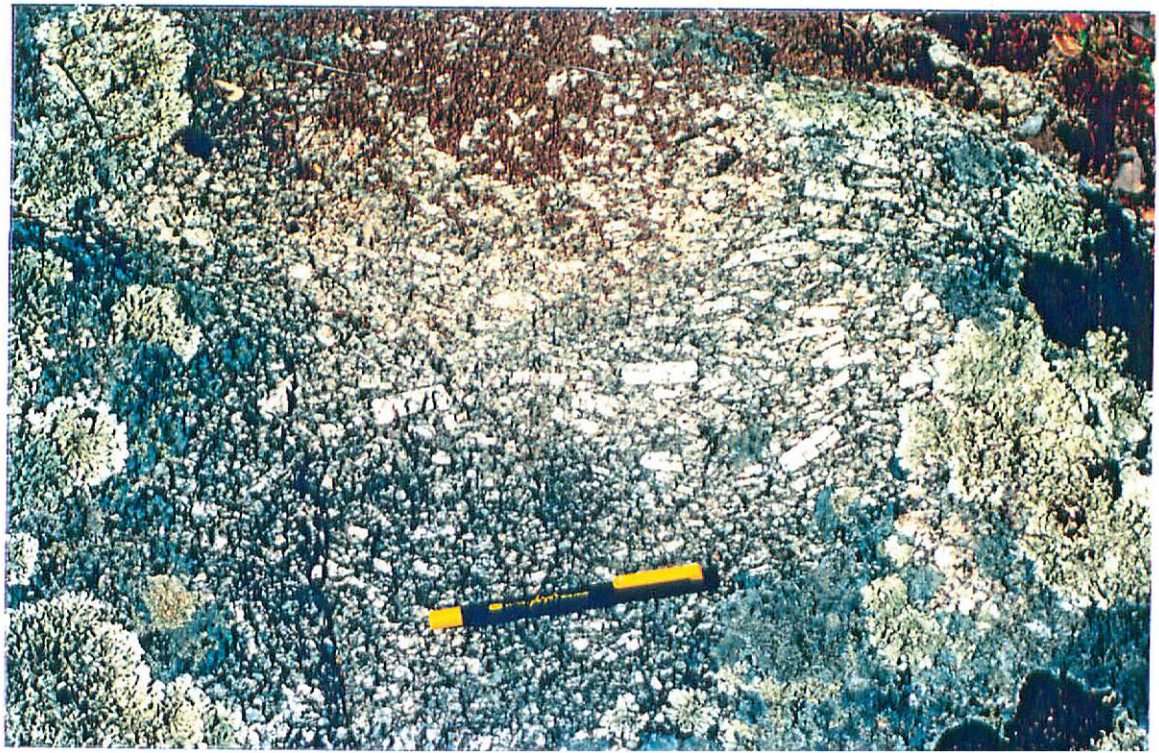
MP- 9406.- Adamellita biotitica, de grano medio con silimanita, porfídica foliada (4). Al O. del Cerro Valdecasillas, junto al río Guadyerbas.



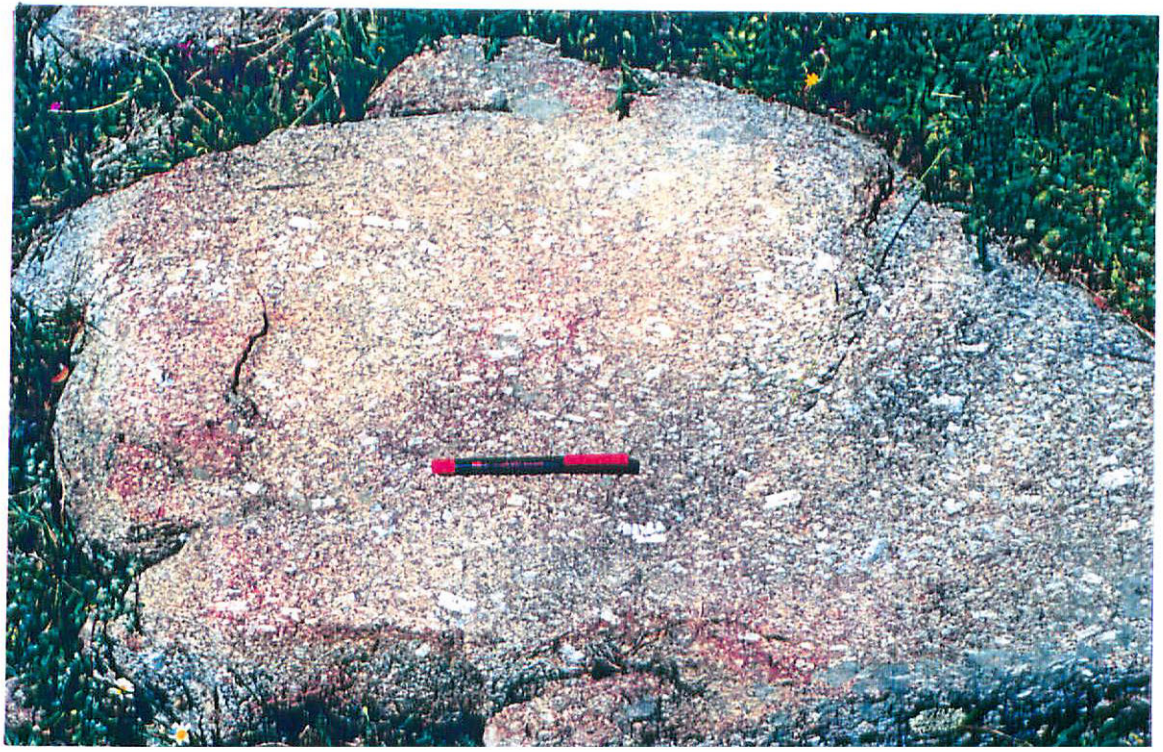
MP- 9407.- Intercalaciones de rocas de silicatos cálcicos en cuarzoesquistos, afectados por deformación milonítica, asociada a la zona de cizalla SE-NO que va del río Guadyerbas al Tiétar con desarrollo de pliegues intrafoliados muy apretados. Al O. de la Cuerda de las Majadas (N. de la Hoja).



MP- 9408.- Pliegues tardíos con geometría de kink-band y ejes NNO-SSE, afectando a metasedimentos. Confluencia del arroyo Valtravieso en el río Arenal. NO. de la Hoja.



MP- 9409.- Adamellita biotítica de grano medio, porfídica con silimanita, foliada (4). NO. de la Hoja, al O. del río Tiétar.



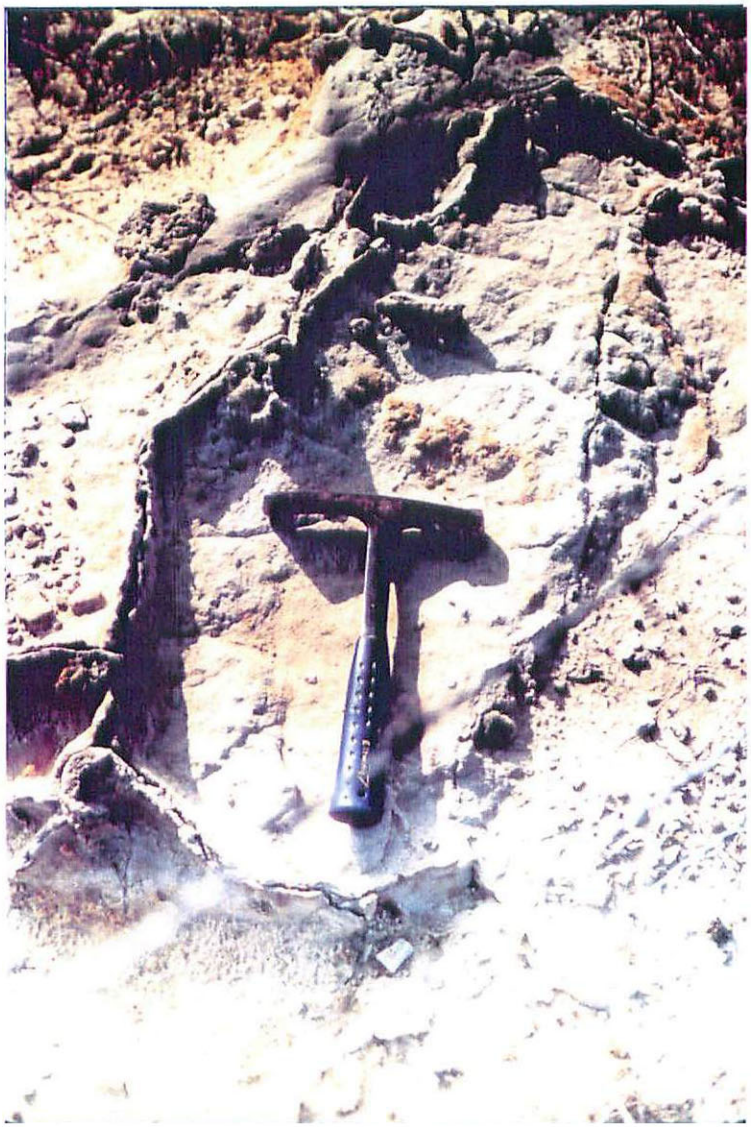
MF- 9410.- Adamellita biotítica de grano medio, porfídica con silimanita, foliada (4). NO. de la Hoja, junto al río Tiétar.



MP- 9411.- Detalle de los conglomerados con grandes bloques de naturaleza metasedimentaria e ígnea de la unidad 19. Aquí se aprecian principalmente bloques de mármoles y filitas. Sur del cerro de la Granja.



MS- 9270.- Aspecto general de un afloramiento de las areniscas de la unidad 17 al oeste de Mejorada.



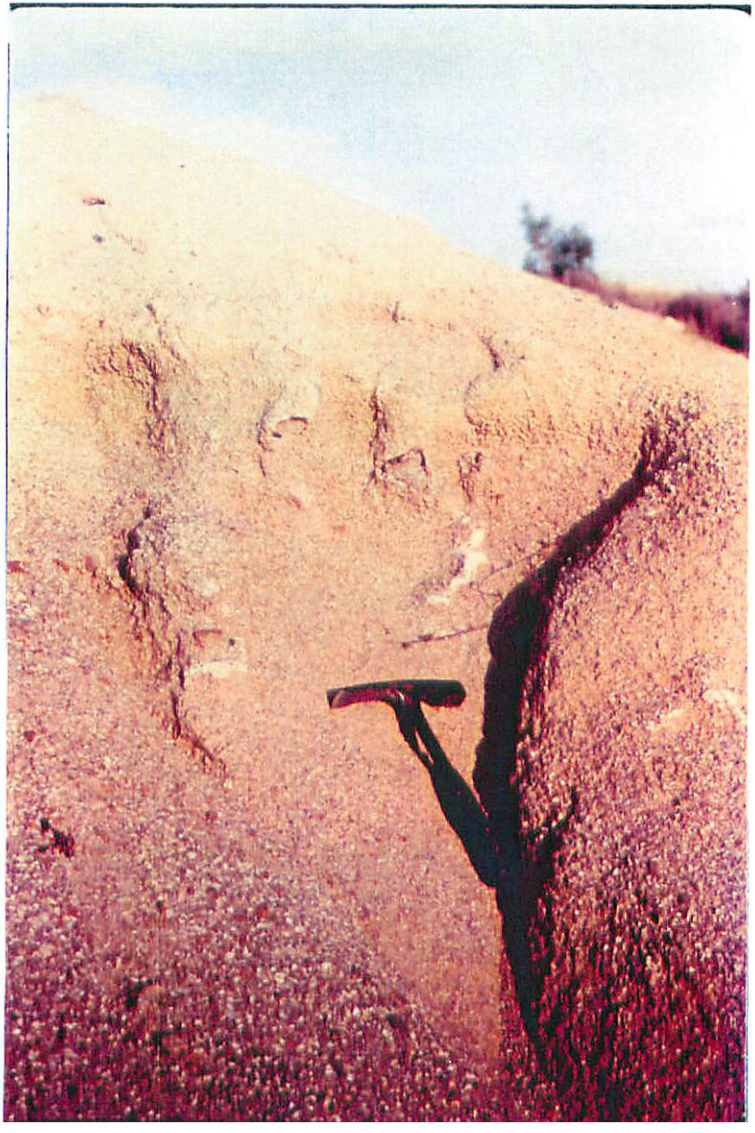
MS- 9271.- Detalle de las cementaciones "celulares" sobreimpuestas a las areniscas de la unidad 17, al noroeste de Mejorada.



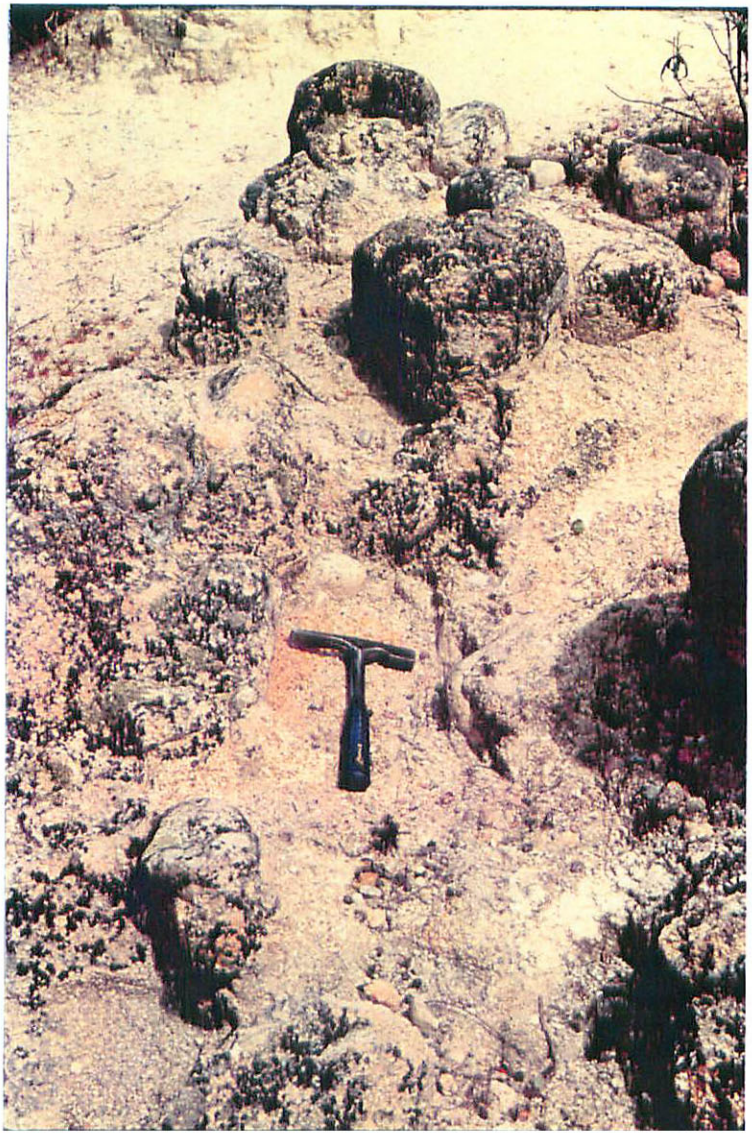
MS- 9272.- Areniscas y conglomerados de la unidad 18. Cuestas Blancas, al sureste de Parrillas.



MS- 9273.- Detalle de la unidad anterior.



MS- 9274.- Unidad arcósica. En esta localidad se pueden apreciar rizocreciones carbonatadas. Suroeste del embalse de Navalcán.



MS- 9275.- Conglomerado de grandes bloques de naturaleza granítica. Unidad 21. Noroeste de la Hoja, entre el río Tietar y el Fajar de la Grulla.